

Теоретическое моделирование теплофизических свойств и линейчатых спектров излучения плотного ионизованного вещества

П.А. Лобода, А.А. Овечкин, А.Л. Фальков, А.С. Королёв, А.Ю. Летунов, А.А. Новиков, Н.Г. Карлыханов, Ф.А. Сапожников, С.В. Кольчугин, М.Е. Березовская

Российский Федеральный Ядерный Центр — Всероссийский научно-исследовательский институт технической физики им. акад. Е.И. Забабахина», Снежинск

E-mail: p.a.loboda@vniitf.ru



Задачи основной тематики РФЯЦ-ВНИИТФ и смежные научные проблемы:

- уточнение ф.-м. описания процессов при работе изделий специальной техники,
- интерпретация результатов специализированных натурных экспериментов,
- исследования по физике высоких плотностей энергии,
- рентгеновская спектроскопия плазмы,
- разработка лазер-плазменных источников рентгеновского излучения высокой яркости.



- Методики вычисления атомных характеристик произвольных многоэлектронных ионов с необходимой точностью.
- Теоретические модели реалистического представления плотного ионизованного вещества, согласованного описания его теплофизических свойств в широкой области плотностей и температур:
 - термодинамических,
 - оптических,
 - диэлектрических,
 - транспортных,
 - структурных,
 - тормозных потерь быстрых ионов.
- Теоретические модели описания спектральных радиационных характеристик (не)равновесной высокотемпературной плазмы.

Атомные характеристики

Атомные характеристики = спектроскопические константы атомов и ионов + сечения и скорости элементарных процессов с их участием

Усовершенствованные авторские версии пакетов программ GRASP, GRASP² и FAC, реализующие многоконфигурационный метод Дирака-Фока и последовательное релятивистское описание с параметрическим локальным потенциалом.

Методы учёта корреляционных эффектов в спектрах многоэлектронных ионов для крупномасштабных вычислений и отдельных прецизионных расчётов.



K.G. Dyall et al. CPC **55**, 425 (1989); F.A. Parpia, C.F. Fischer, I.P. Grant. CPC **94**, 249 (1996). M.F. Gu. Can. J. Phys. **86**, 675 (2008).

J. Nilsen, ..., P.A. Loboda *et al*. PRA **50**, 2143 (1994). P.A. Loboda *et al*. Proc. SPIE **2520**, 69 (1995).



- Согласованные данные по спектроскопическим константам и скоростям элементарных процессов для многоэлектронных ионов с необходимой точностью: атомные модели для исследования плазменных резонансных сред и задач рентгеновской спектроскопии плазмы, наполнение баз данных;
- одно- и двух-частичные атомные характеристики электронных орбиталей многоэлектронных ионов: модели статистического описания теплофизических свойств плотного ионизованного вещества.

V.Yu. Politov, P.A. Loboda, V.A. Lykov, J. Nilsen. Opt. Comm. **108**, 283 (1994).

П.А. Лобода. В сб. тезисов VII 3H4, с. 101 (2003). О.В. Rosmei, ..., Р.А. Loboda *et al.* LPB **23**, 79 (2005).

П.А. Лобода. В сб. тезисов XIV 3H4, с. 101 (2019).

A.A. Ovechkin, P.A. Loboda, A.S. Korolev *et al.* MRE **7**, 064401 (2022).

Атомные характеристики



Создана информационно-справочная система по свойствам спектров атомов и ионов SPECTR-W³: http://spectr-w3.snz.ru (> 450000 записей)

SPECTR-W³: интерактивный общедоступный Web-ресурс на основе фактографической базы атомных данных SPECTR-W³ — с ноября 2002 г. Разработана и развивается совместно с ОИВТ РАН.

- крупнейшая в мире БД по свойствам спектров многозарядных ионов,
- единственная работающая российская база по числовым данным для атомов и ионов,
- включена в поисковые системы МАГАТЭ (GENIE) и международного научного консорциума, «Виртуальный центр по атомным и молекулярным данным» (VAMDC),
- даёт возможность представления результатов запросов в соответствии с разработанным международным стандартом для обмена атомными и молекулярными данными XSAMS.
- включает большой объём результатов собственных расчётов спектроскопических констант многоэлектронных ионов,
- в составе рабочей группы МАГАТЭ разработана универсальная система описания характеристик спектров атомов и ионов.

```
А.Ya. Faenov, ..., P.A. Loboda et al. AIP Conf. Proc. 636(1), 253 (2002).

I.Yu. Skobelev, P.A. Loboda et al. J.Phys: Conf. Ser. 653, 012022 (2015).

И.Ю. Скобелев, П.А. Лобода и др. Оптика и спектроскопия 120, 531 (2016).

Y. Ralchenko, ..., P.A. Loboda et al. AIP Conf. Proc. 1125, 207 (2009).

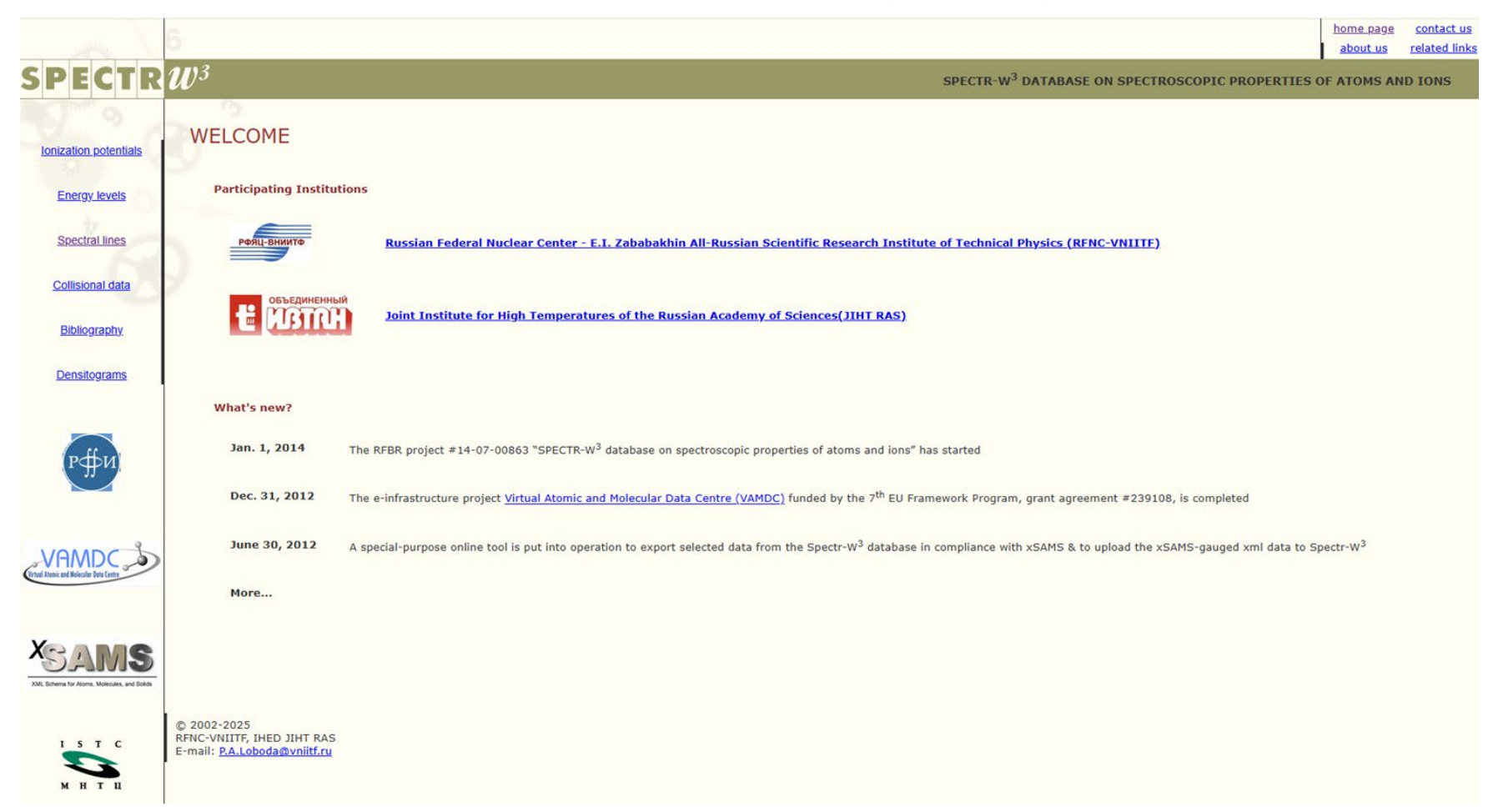
M.L. Dubernet, ..., P.A. Loboda et al. JQSRT 111, 2151 (2010).

G. Rixon, ..., P.A. Loboda et al. AIP Conf. Proc. 1344, 107 (2011).

M.L. Dubernet, ..., P.A. Loboda et al. J. Phys. B: At. Mol. Opt. Phys. 49, 074003 (2016).

D. Albert, ..., P.A. Loboda et al. Atoms. 8, 76 (2020).
```

Атомные характеристики





SPECTR-W³

- Данные расчетов, измерений, компиляций.
- Ссылки на первоисточники и необходимые комментарии.

- потенциалы ионизации,
- энергии, статвеса, радиационные и автоионизационные ширины уровней,
- длины волн, вероятности и силы осцилляторов радиационных переходов, факторы интенсивности сателлитов,
- параметрам аппроксимаций сечений и скоростей столкновительных переходов в атомах и ионах аналитическими выражениями,
- экспериментальным спектрограммам рентгеновского излучения, зарегистрированных от различных плазменных источников.



Модель ионизационного равновесия умеренно (слабо)-неидеальной плазмы многоэлектронных ионов <u>CP-SC</u> на основе «химического» (плазменного) представления — ансамбль ионов отдельных сортов с различным числом связанных электронов *Q*:

- учёт неидеальности по ТВ: $\Delta F_{\rm C}$: аппроксимации данных расчётов методом Монте-Карло и в гиперцепном приближении † , обобщённые на случай неполной ионизации; $\Delta F_{\rm HS}$: модель твёрдых сфер;
- учёт вырождения свободных электронов (FEG);
- описание вклада связанных электронов в F на основе суперконфигурационного (SC) подхода ‡ с учётом возмущения одноэлектронных связанных состояний плазменным ионным микрополем: формализм вероятностей заселения $w_s^{Q}(\rho,T)^{\P}$ зависимость статсумм супероболочек, SC и ионов от плотности и температуры (сделано впервые);
- последовательное применение SC подхода (модели STA) для статистического описания сложных спектров поглощения/излучения многоэлектронных ионов.

$$\begin{split} \frac{c_{\mathcal{Q}}}{c_{\mathcal{Q}-1}} &= \frac{U_{\mathcal{Q}}(\mathbf{g})}{U_{\mathcal{Q}-1}(\mathbf{g})} \exp[\beta(\mu_e - \Delta \tilde{\mu}_{\mathcal{Q}})], \qquad \Delta \tilde{\mu}_{\mathcal{Q}} = \left(\frac{\partial}{\partial c_{\mathcal{Q}}} - \frac{\partial}{\partial c_{\mathcal{Q}-1}} - \frac{\partial}{\partial \langle Z \rangle}\right) F_{\mathcal{C}} \\ Z - \sum_{\mathcal{Q}} c_{\mathcal{Q}} \mathcal{Q} &= \langle Z \rangle = \frac{\sqrt{2}}{\pi^2 \, \beta^{3/2} \, n_i} \, I_{1/2}(\beta \, \mu_e), \qquad \qquad -T \, \sum_{\mathcal{Q}'} c_{\mathcal{Q}'} \left(\frac{\partial}{\partial c_{\mathcal{Q}}} - \frac{\partial}{\partial c_{\mathcal{Q}-1}} - \frac{\partial}{\partial \langle Z \rangle}\right) \ln U_{\mathcal{Q}'} \\ \sum_{\mathcal{Q}} c_{\mathcal{Q}} &= 1. \end{split}$$



 μ_e , $n_e(r)$, $\{c_Q\}$, энергии и вероятности радиационных переходов, ...

$$U_Q(\mathbf{g}) = \sum_{C \in O} w_C e^{-\beta E_C} \prod_s w_s^{q_s} \qquad w_s = w_s^{(Q)}(\rho, T)$$

- [†] G. Chabrier, A.Y. Potekhin. PRE **58**, 4941 (1998).
- ‡ A. Bar-Shalom et al. PRA 40, 3183 (1989).
- ¶ D.G. Hummer, D. Mihalas. ApJ **331**, 794 (1988).

P.A. Loboda, V.V. Popova, A.A. Shadrin. CPP **49**, 738 (2009); A.A. Ovechkin, P.A. Loboda, V.V. Popova, et al. PRE **108**, 015207 (2023)



Модель RESEOS[★] на основе одноцентрового ячеечного представления вещества. Средний атом в «желе» — учёт кулоновских корреляций за пределами ячейки: модели Либермана^{*}, нейтральной ионной сферы^{†,‡} и Старретта-Саумона[¶].

$$\Delta V_{el}(r) = 4\pi \left(n_e(r) - \left\langle Z \right\rangle n_i(r) - Z\delta(\mathbf{r}) \right), \quad \left\langle Z \right\rangle = \frac{n_e^0 \equiv \lim_{r \to \infty} n_e(r)}{n_i^0}, \quad n_i^0 = \frac{\rho N_A}{A}$$

 $n_i(r) = n_i^0 \theta \left(r - r_0 \right)$: модели Либермана $\left(n_e \left(r \right) \equiv n_e^0, \, r > r_0 \right)$ и нейтральной ионной сферы $\left(n_e \left(r \right) \to n_e^0, \, r \to \infty \right)$ $n_i(r) = n_i^0 g \left(r \right)$: модель Старретта-Саумона; g(r) — из решения уравнений Орнштейна-Цернике.

$$V(r) = V_{el}(r) + V_{xc}(n_e(r)) + v(n_e(r_0), n_e^0)$$
. $v \neq 0$ для модели Либермана.

Уравнения самосогласованного поля в релятивистском приближении для иона с наиболее вероятными при заданных р и Т числами заполнения электронных оболочек:

$$\left(-ic(\hat{\boldsymbol{a}}\nabla) + c^{2}(\hat{\boldsymbol{\beta}} - 1) + V(r)\right)\psi_{v}(\mathbf{r}) = \varepsilon_{v}\psi_{v}(\mathbf{r}) \qquad n_{e}(r) = \sum_{v} \frac{1}{1 + \exp(\beta(\varepsilon_{v} - \mu_{e}))} |\psi_{v}(\mathbf{r})|^{2}$$



 μ_e , $n_e(r)$, $\{c_Q\}$, энергии и вероятности радиационных переходов, ...

*A.A. Ovechkin, P.A. Loboda, et al. HEDP **13**, 20 (2014); A.A. Ovechkin, P.A. Loboda, A.L. Falkov. HEDP **20**, 38 (2016). A.A. Ovechkin, P.A. Loboda, A.L. Falkov. HEDP **30**, 29 (2019).

^{*} D.A. Liberman. PRB **20**, 4981 – 4989 (1979).

[†] R. Piron, T. Blenski. HEDP **7**, 346 – 352 (2011).

[‡] R. Piron, T. Blenski. PRE 83, 026403 (2011).

[¶]C. E. Starrett, D. Saumon. PRE **87**, 013104 (2013).



RESEOS: модель Старретта и Саумона

Ионная подзадача

(уравнение Орнштейна-Цернике)

$$g(r) \equiv 1 + h(r)$$





$$h(q) = C(q) + n_i h(q)C(q)$$

$$1 + h(r) = \exp(-\beta V_{II}(r) + h(r) - C(r))$$

 $(V_{II}$ – парный межионный потенциал)



$$V_{II}(q) = \frac{4\pi Z_0^2}{q^2} - Tn_e^{scr}(q)C_{Ie}(q)$$



Электронная подзадача Полная система зарядов

$$\nabla^2 V_{el}(r) = 4\pi \left(n_e(r) - n_e^0 g(r) - Z\delta(\mathbf{r}) \right)$$

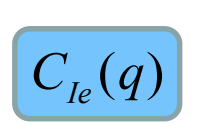
Система зарядов без центрального ядра

$$\nabla^2 V_{el}^{ext}(r) = 4\pi \left(n_e^{ext}(r) - n_e^0 g(r) \right)$$

Псевдоатом

$$n_e^{PA}(r) = n_e(r) - n_e^{ext}(r)$$

Плотность электронов, экранирующих ион = плотность свободных электронов псевдоатома $n_e^{scr}(r) = n_e^{PA}(r) - n_{e,b}(r)$





$$n_e^{scr}(q)$$

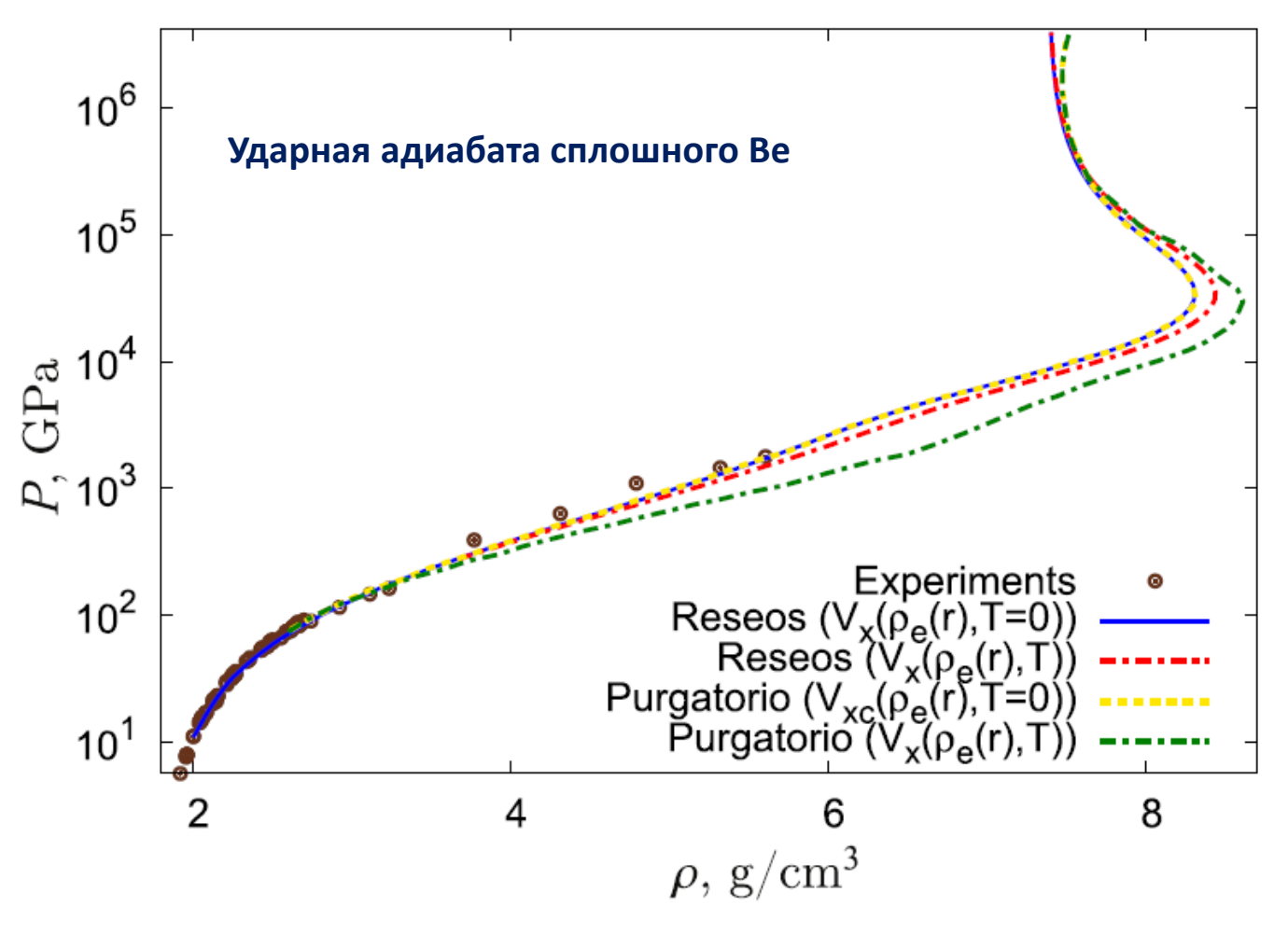
$$V_{Ie}(r) = -Tn_i \int \left(C_{Ie}(r) - \frac{n_e^0}{Tn_i r} \right) h(|\mathbf{r} - \mathbf{r}_1|) d\mathbf{r}_1$$



CP-SC и RESEOS:

- гладкие зависимости теплофизических характеристик от ρ и Т:
 - U(ρ,T) (CP-SC);
 - учёт резонансов электронной плотности при ионизации давлением (RESEOS);
- термодинамически согласованные значения электронных компонент p и E (RESEOS: интегрирование $S_e(T)$ по T;
- моделирование сложных спектров д-д и д-н переходов с помощью SC подхода (RESEOS: предложен и реализован обобщённый вариант => существенное упрощение расчёта сложных спектров линейчатого поглощения/излучения).

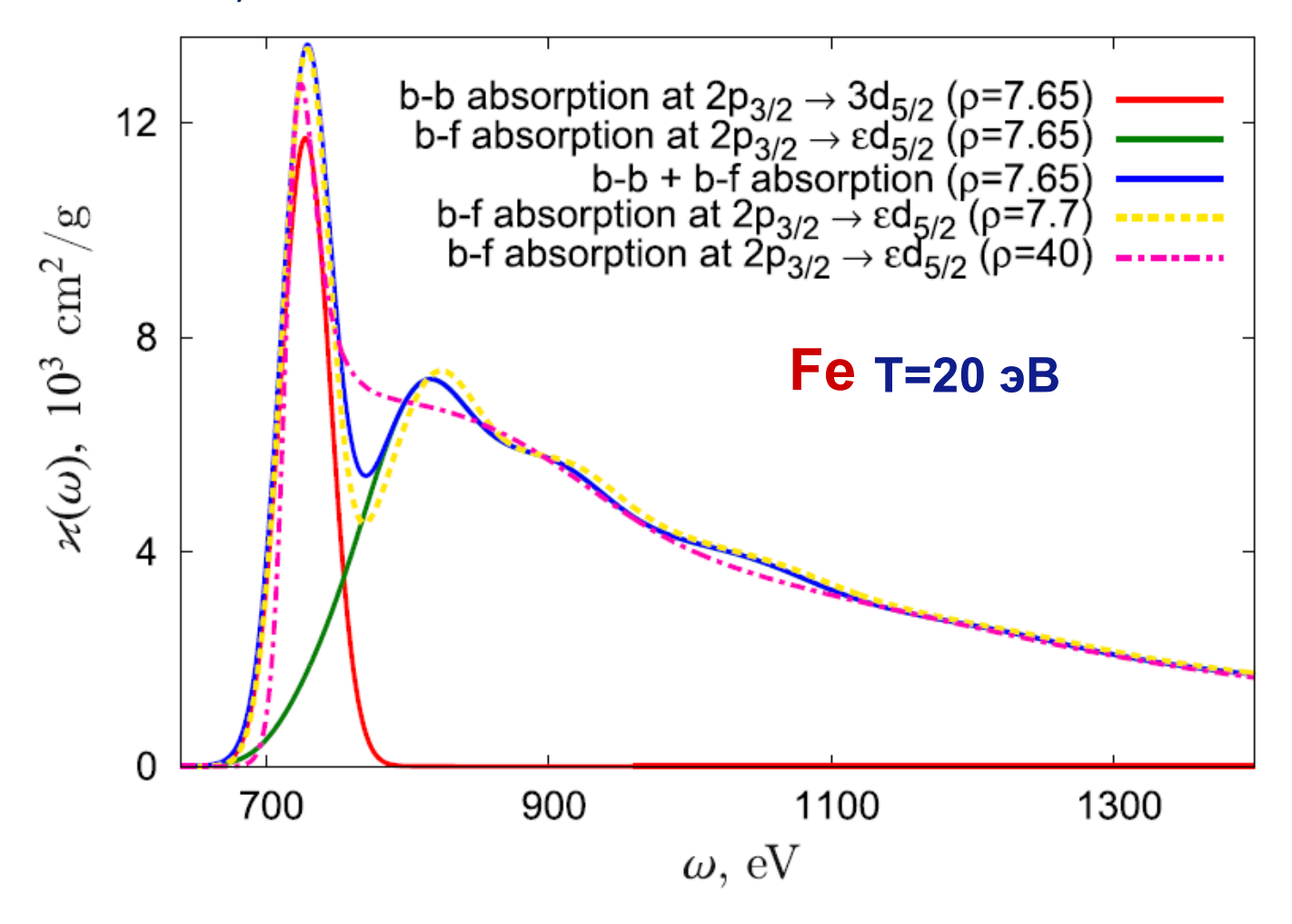




Экспериментальные данные: http://www.ihed.ras.ru/rusbank
Purgatorio: B. Wilson, V. Sonnad, P. Sterne, W. Isaacs. JQSRT **99** 658–679 (2006)

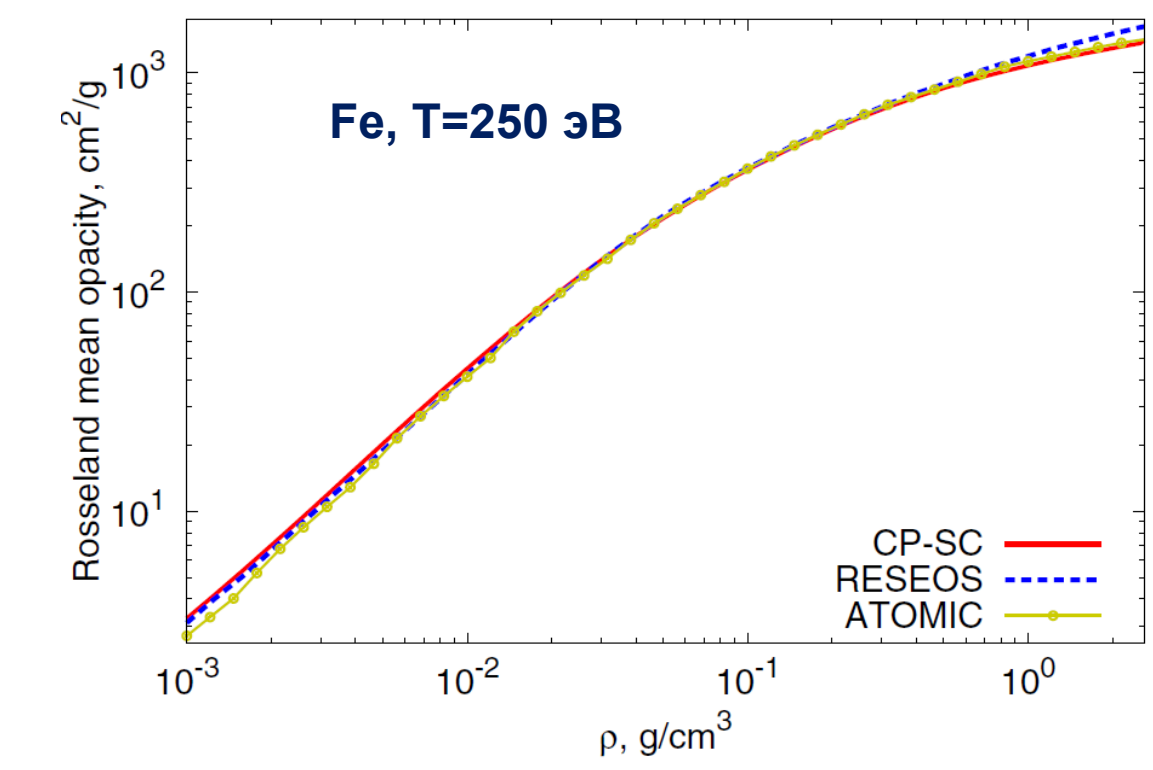


RESEOS: непрозрачности плавно изменяются при ионизации давлением, если сечения линейчатого поглощения и фотоионизации вычисляются в одинаковом приближении (здесь — эффективный учёт флуктуаций чисел заполнения)

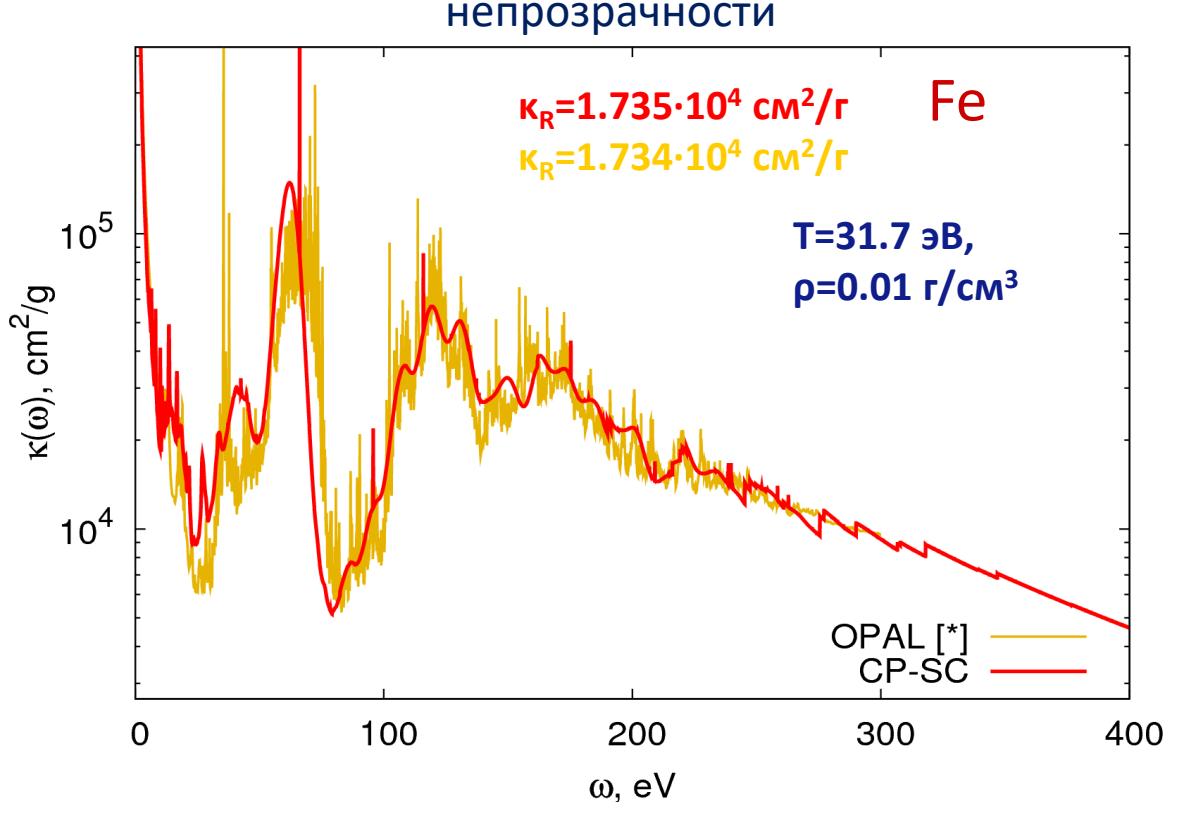








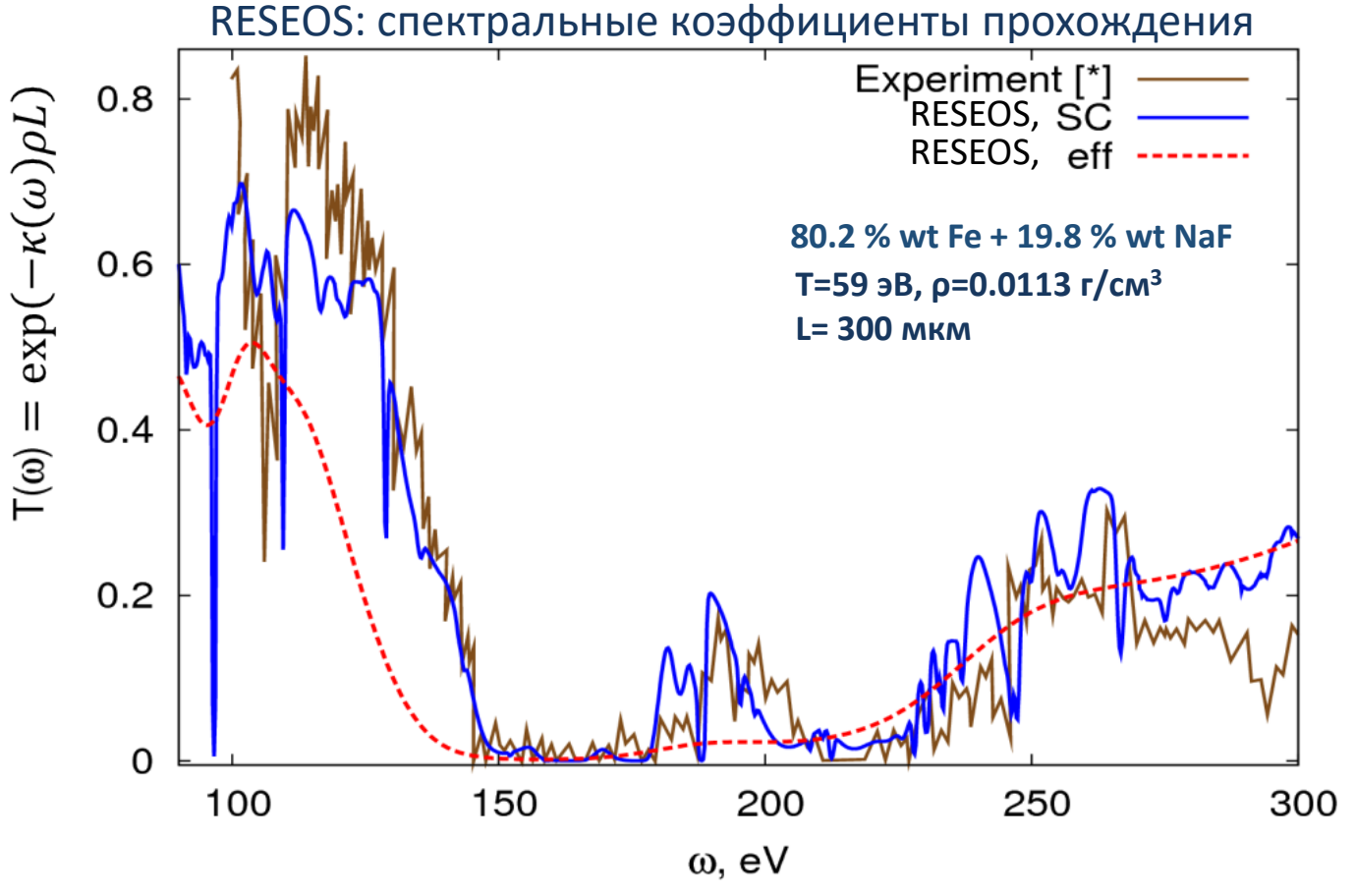
CP-SC и OPAL: спектральные непрозрачности



A.A. Ovechkin, P.A. Loboda, V.V. Popova, et al. PRE 108, 015207 (2023)

^{*} C.A. Iglesias, F.J. Rogers. APJ, **464**, 943 – 953 (1996)





Эксперимент:

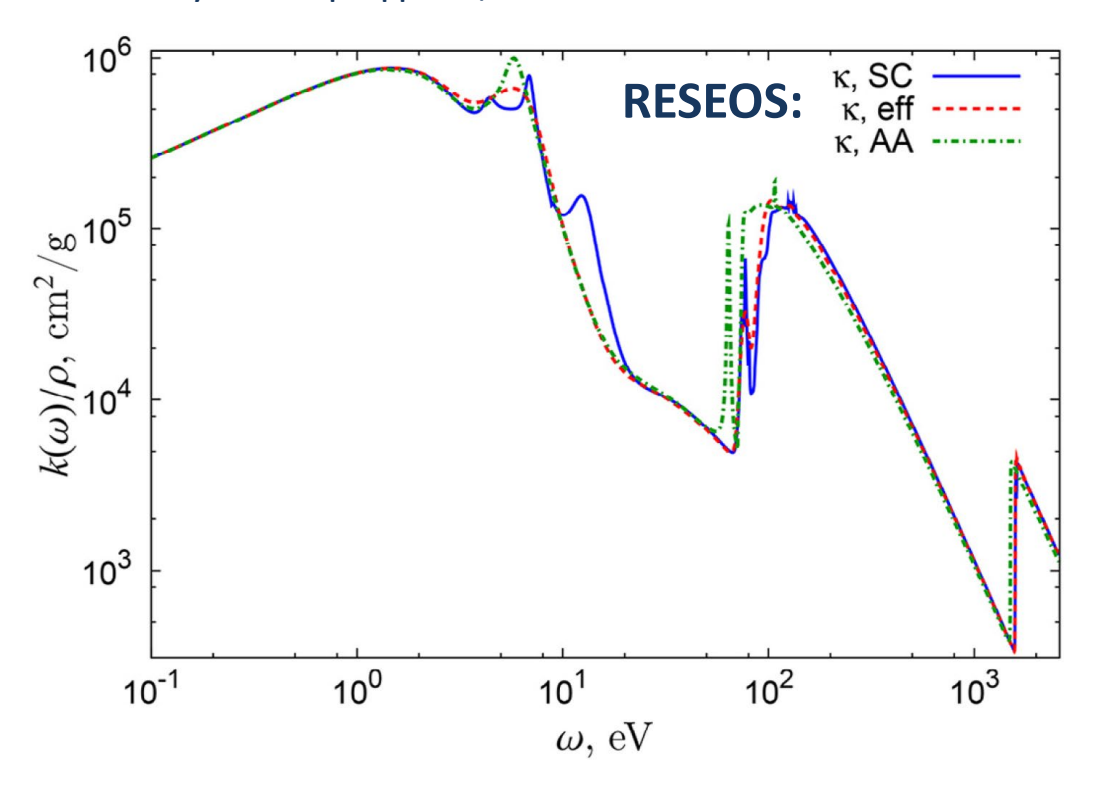
* P.T. Springer, D.F. Fields, B.G. Wilson *et al.* PRL **69**, 3735 (1992); P.T. Springer, D.F. Fields, B.G. Wilson *et al.* JQSRT **52**, 371 (1994).

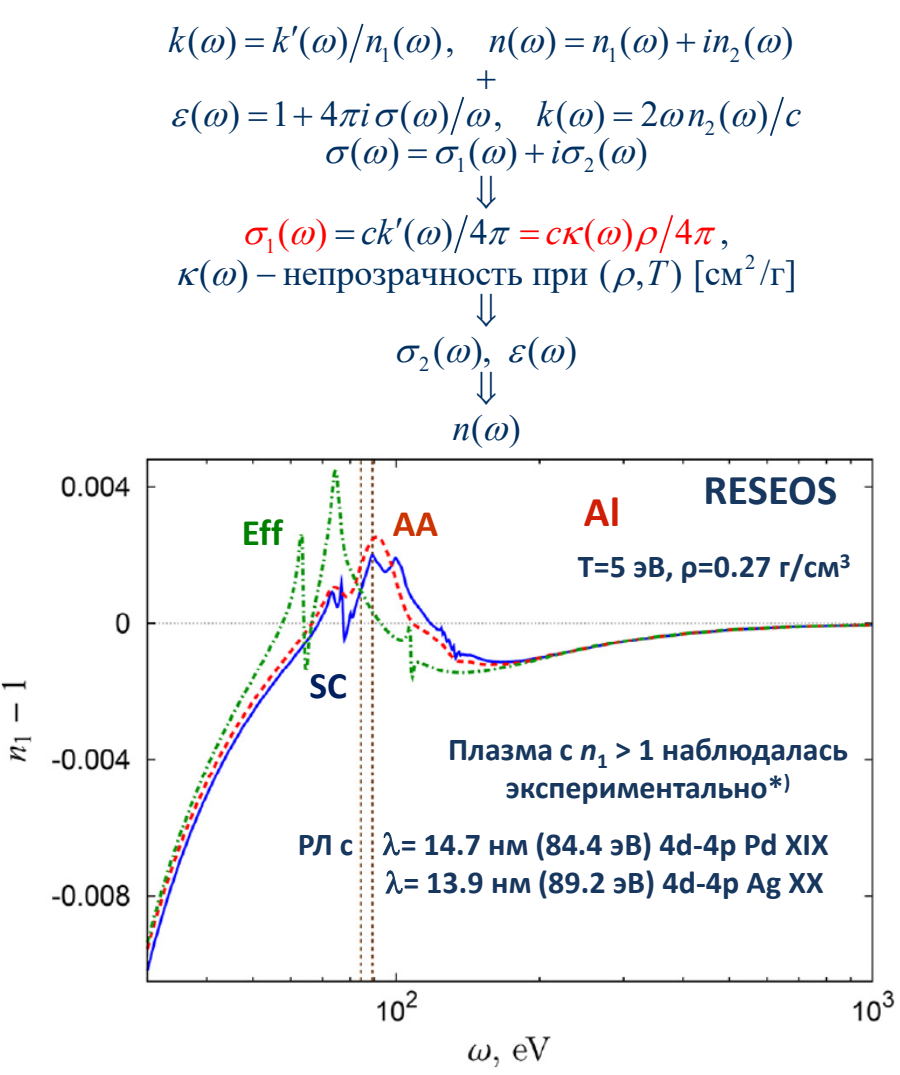
Существенное уточнение групповых росселандовых непрозрачностей (100 < ∞ < 300 эВ):

Было, к' _R (eff), см²/г	Стало, κ'_R (SC), cм ² /г	$κ'_R$ (exp), cm ² /г
6358	4822	4400 ± 600



Непрозрачность Al с ρ = 0.27 г/см³, T = 5 эВ с учётом рефракции.



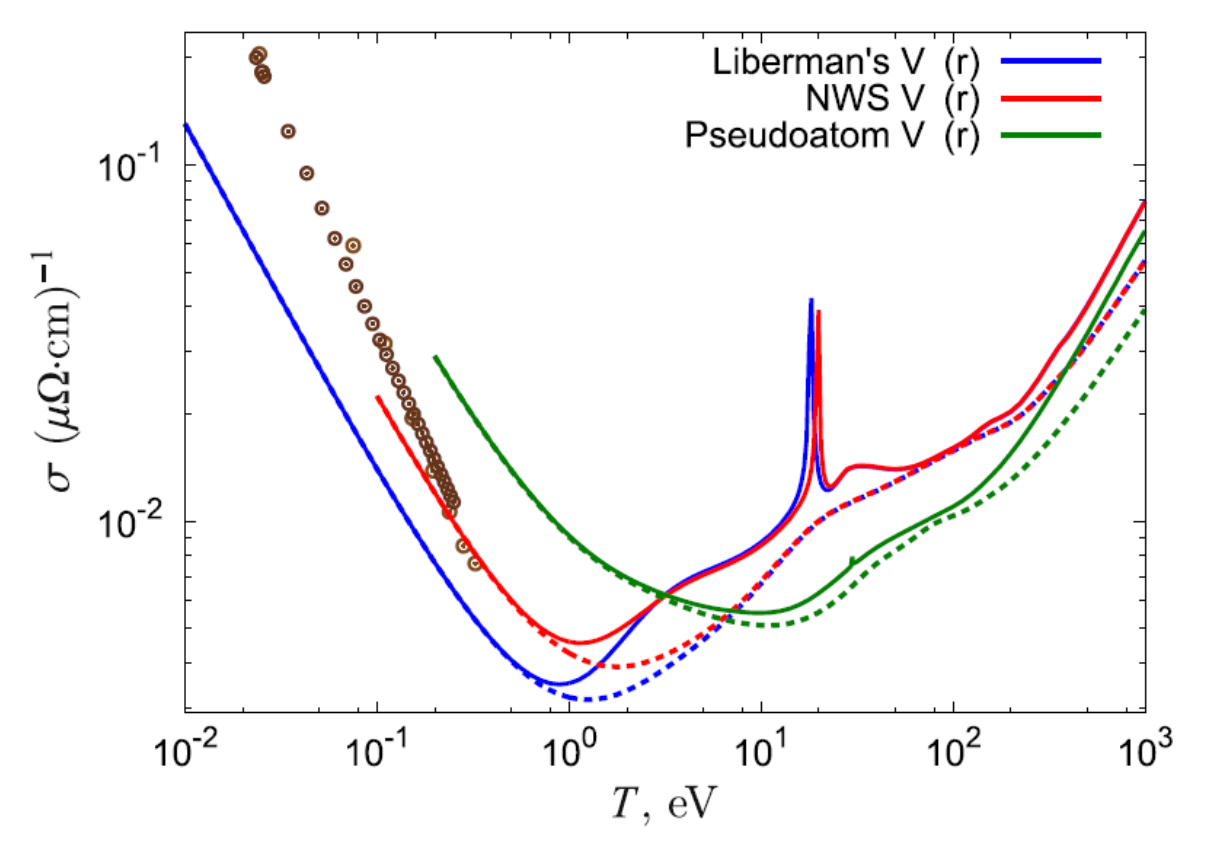


A.A. Ovechkin, P.A. Loboda, A.L. Falkov. HEDP 20, 38 (2016).

^{*)} H. Tang et al. Appl. Phys. B: Lasers Opt. **78**, 975 (2004). J. Nilsen *et al.* JQSRT **99**, 425 (2006).



RESEOS: изохоры проводимости W при $\rho = 19.3 \text{ г/см}^3$



Сплошные линии: метод времени релаксации, штриховые — обобщённая формула Займана.

Потенциал среднего атома без учёта ионных корреляций — короткодействующий

особенности поведения сечения рассеяния $\sigma_{\scriptscriptstyle ei}(\varepsilon)$ при малых ε



Нефизичные пики при $T_e = 18 - 20$ эВ.

Надлежащий учёт *ii*-корреляций с потенциалом псевдоатома — модель Старрета-Саумона — практически устраняет эти особенности.

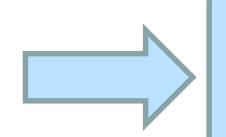
A.A. Ovechkin, P.A. Loboda, A.L. Falkov. HEDP 20, 38 (2016).

[•] Справочник «*Таблицы физических величин»* под ред. И.К. Кикоина . М.: Атомиздат (1976). Справочник «*Физические величины»* под ред. И. Григорьева и Е. Мелихова. М.: Атомиздат (1991).

Псевдоатомная молекулярная динамика (ПАМД)



Модель Старретта и Саумона, $V_{{I\!I}}(r)$



Классическая молекулярная динамика с потенциалами $V_{II}(r)$, комплекс «Молох» st



Приближение суперпозиции для электронной плотности

$$n_{e}\left(\mathbf{r}\right) = \sum_{i} n_{e}^{PA} \left(\left| \mathbf{r} - \mathbf{R}_{i} \right| \right)$$

Конфигурации ядер $\left\{ \mathbf{R}_{i} \right\}$ для различных моментов времени



Для каждой конфигурации:

- Энергия $E = 3/2 \cdot NT + E_{e,K} + E_{el} + E_{xc}$
- Давление по релятивистской теореме вириала

$$3PV = NT + \left\langle -ic(\mathbf{a}\nabla)\right\rangle + E_{el} +$$

$$+3\left(-F_{xc}+\int_{V}d\mathbf{r}n_{e}(\mathbf{r})\frac{\delta F_{xc}}{\delta n_{e}(\mathbf{r})}\right)$$

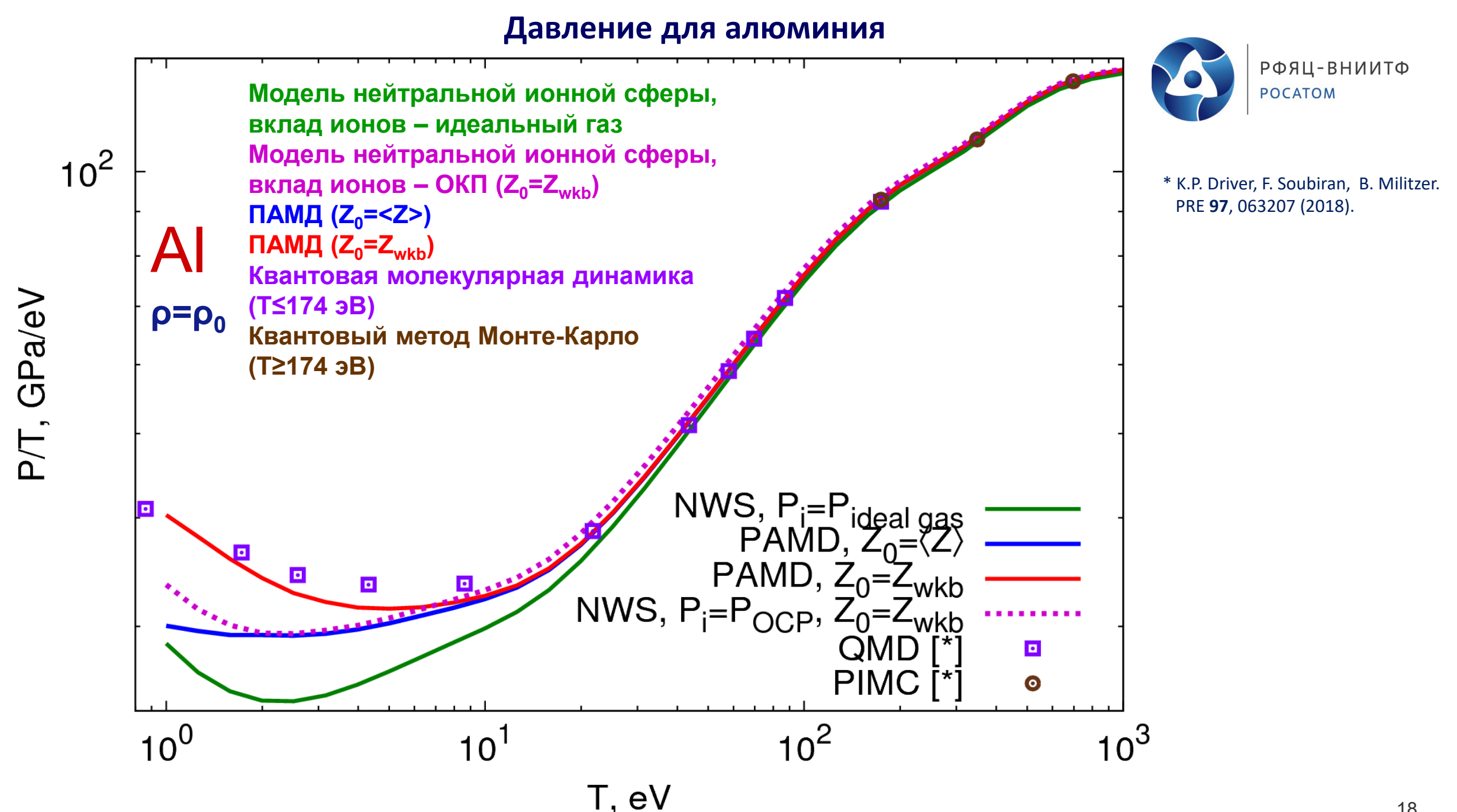


Усреднение по конфигурациям



Уравнение состояния

^{*} F.A. Sapozhnikov, V.V. Dremov, G.V. Ionov, I.V. Derbenev, and N. E. Chizhkova, EPJ Web Conf. **10**, 00017 (2010).



Квазиклассическая версия ПАМД



Псевдоатомная МД: классическая МД + $V_{ii}(r)$ из модели ТФД $^+$ с учётом i-i корреляций (модель Старретта-Саумона)

Ионные структурные и переносные характеристики

- Парные корреляционные функции ионов и структурные факторы в расплавах и плотной плазме;
- расчёты коэффициентов вязкости и диффузии ионов в широком диапазоне Т и ρ;
- расчёты коэффициента поверхностного натяжения плазмы и расплава;
- простые вещества и многокомпонентные смеси;
- точность на уровне безорбитальной КМД при более высокой экономичности.

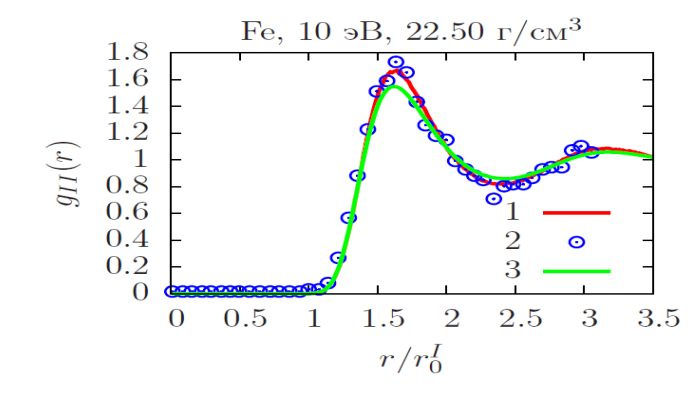
Бестигельная зонная плавка: аффинаж -D Размер «капли» — σ .

Приближение Кирквуда:
$$\sigma = \frac{\pi}{8} \left(\frac{N}{V} \right)^2 \int\limits_0^\infty \frac{dV_{ii}(r)}{dr} g_{ii}(r) r^4 dr$$

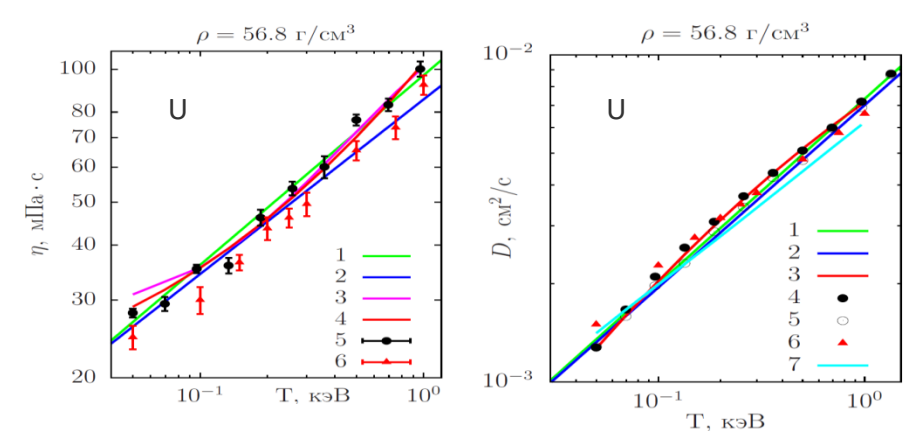
Коэффициенты поверхностного натяжения σ расплавов при атмосферном давлении, мДж/м²

Элемент	Т пл., К	Эксперимент†	Расчёт	Расчёт*
Al	932	912	915	1150
Ca	1123	346	342	
Fe	1809	1856 (1800)	1807	1700

А.Л. Фальков, П.А. Лобода, А.А. Овечкин, С.В. Ивлиев. ЖЭТФ **161**, 438–452 (2022).



Коэффициенты ионной вязкости и диффузии: прибл. Эйнштейна-Смолуховского и Кубо-Грина.



[†] Г.Н. Еланский, Д.Г. Еланский. Строение и свойства металлических расплавов. М.: Юрайт (2022).

^{* «}Универсальная» (для произвольных элементов) модель: V_{іі}(r) по ББГКИ. В.А. Полухин, Н.А. Ватолин. *Моделирование аморфных металлов*. М.: Наука (1985).



RESEOS: ПАМД

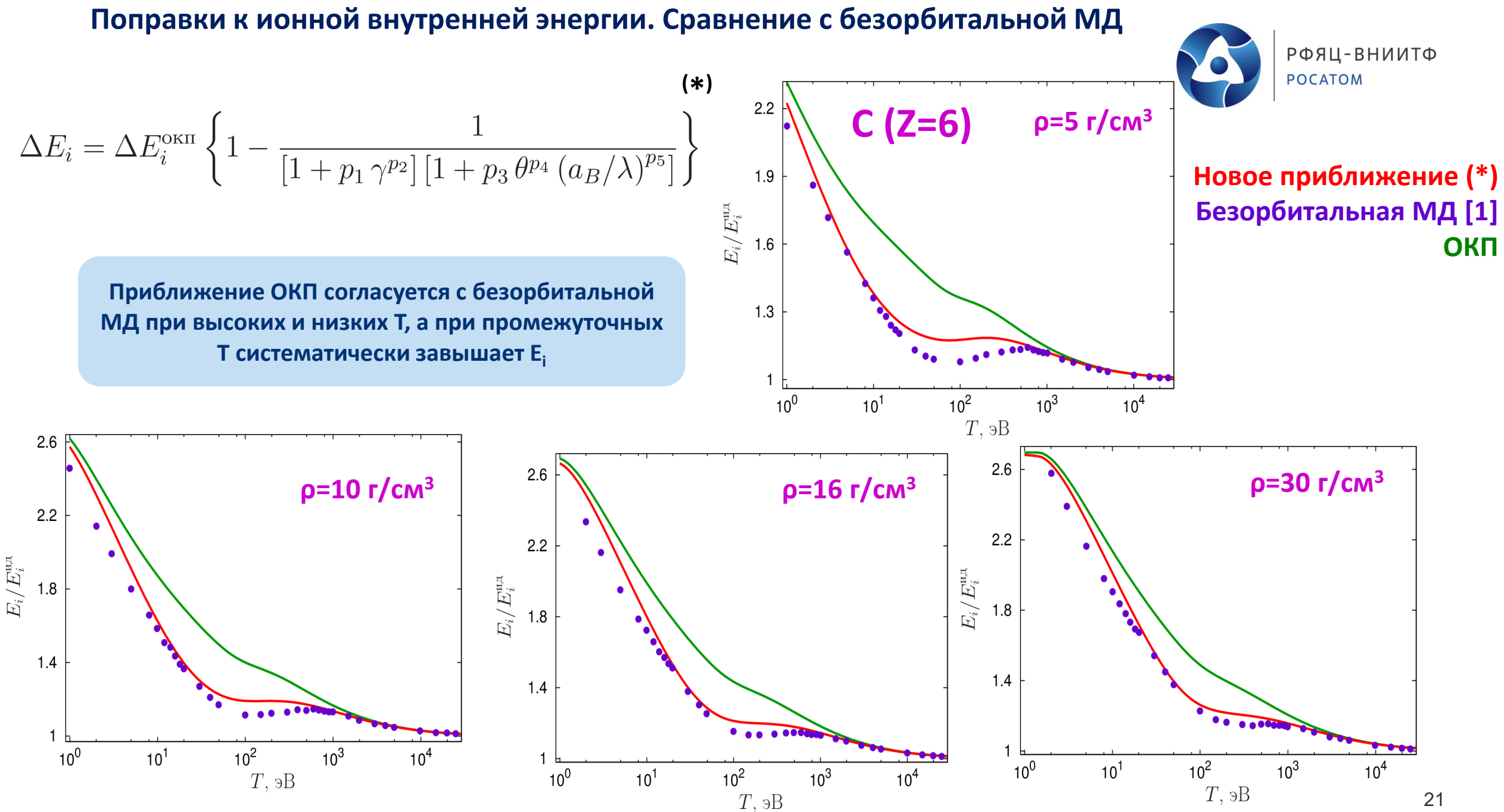
Анализ результатов прямого моделирования ТД характеристик плотного ионизованного вещества методом ПАМД для построения широкодиапазонных УРС с учётом эффектов неидеальности ионной компоненты.

основные закономерности поведения ионных компонент ТД величин с изменением р и Т

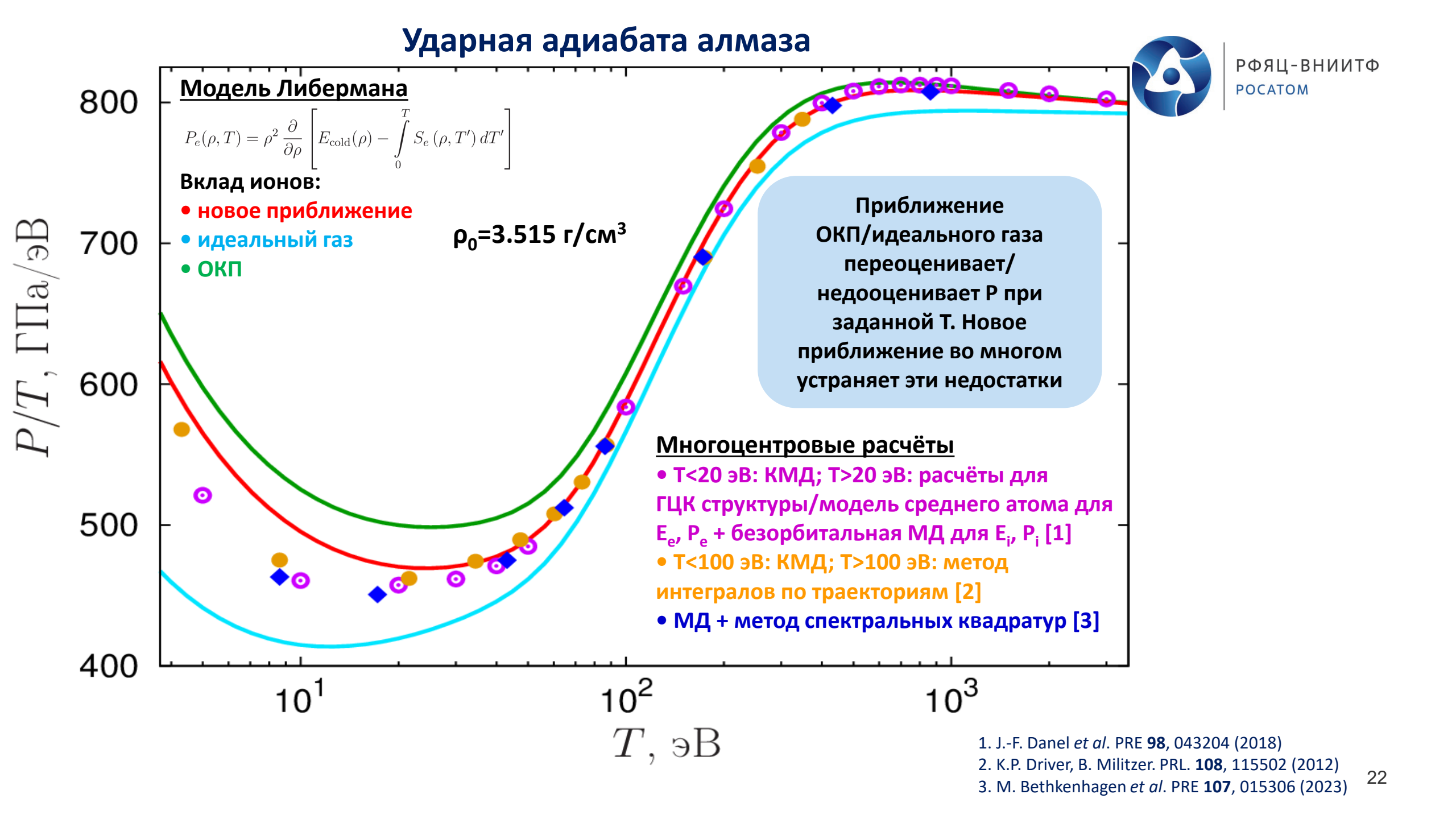


новое простое неэмпирическое приближение для расчёта вклада ионов в УРС на основе моделей среднего атома.

Использование нового приближения для вклада ионов вместо приближений идеального газа или однокомпонентной плазмы заметно повышает точность расчётов по современным моделям среднего атома.



1. J.-F. Danel, L. Kazandjian, R. Piron. Phys. Rev. E <u>98</u>, 043204 (2018).





Радиационно-столкновительная модель среднего атома в RESEOS

Задача: описание ионизационного состояния и сложных спектров излучения / поглощения одновременно с динамикой горячей неравновесной плазмы

Уравнения для средних чисел заполнения электронных оболочек: учитываются все одно- и двух-электронные атомные процессы

$$rac{dN_m}{dt} = -N_m\,L_m + \left(g_m - N_m
ight)S_m$$
 Автоионизация (2e-) $L_m = \sum_k \left(w_{mk}^{(c)} + w_{mk}^{(r)}
ight)\left(1 - rac{N_k}{g_k}
ight) + w_{mc}^{(c)} + w_{mc}^{(r)} + A_m$

д.-д. процессы

д.-н. процессы

$$S_m = rac{1}{g_m} \sum_k \left(w_{km}^{(c)} + w_{km}^{(r)}
ight) N_k + w_{cm}^{(c)} + w_{cm}^{(r)} + D_m$$
 Неравновесные $arepsilon_{f m}$ – по ТВ





Средний атом в ЛТР

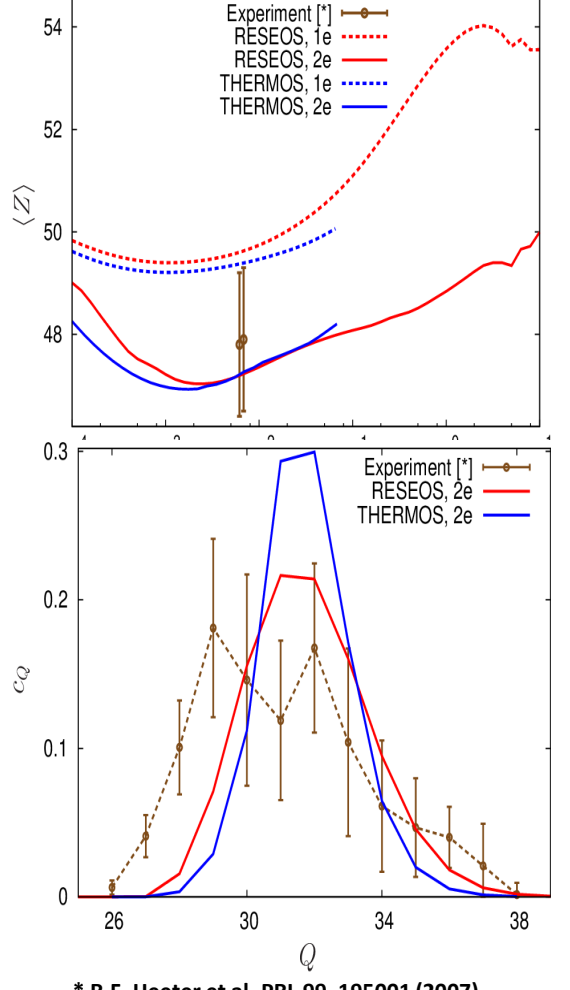


Изолированные ионы

Резкое уменьшение времени счёта!

A.A. Ovechkin, P.A. Loboda, A.S. Korolev et al. Matter Radiat. Extremes 7, 064401 (2022)

Средние заряды ионов и ионный состав неравновесной плазмы золота





Модели расчёта локальных спектров линейчатого излучения и усиления/поглощения многоэлектронных ионов в плазме:

- применение метода атомной матрицы плотности, учёт нелинейных интерференционных эффектов;
- учёт основных механизмов уширения в плазме: статистического штарковского, электронно-столкновительного, радиационного и доплеровского;
- любые связанно-связанные переходы;
- совместный учёт влияния квазистатического ионного микрополя и резонансного поля излучения на процессы заселения ионных состояний и насыщения спектра усиления;
- учёт эффектов ионной динамики при описании ионного штарковского уширения по модели частотных флуктуаций ионного микрополя (FFM) в контексте формализма матрицы плотности.

```
P.A. Loboda et al. J. Appl. Phys. 57, 325 (1993).
P.A. Loboda, V.A. Lykov, V.V. Popova. Proc. SPIE 2012, 232 (1994).
P.A. Loboda et al. Proc. 5<sup>th</sup> Intl. Conf. X-ray lasers, IOP Conf. Ser. 151: Sec. 9, 318 (1996).
P.A. Loboda, V.V. Popova, M.K. Shinkarev. JQSRT 58, 757 (1997).
P.A. Loboda et al. LPB 18, 275 (2000).
A.Ю. Летунов, В.С. Лисица, П.А. Лобода, А.А. Новиков. ЯФ и инжиниринг 15, 332 (2024).
```

P.A. Loboda, V.A. Lykov, V.V. Popova. Proc. SPIE 1928, 145 (1993).



Проблема ионной динамики — задача учёта влияния теплового движения ионов на штарковское уширение спектральных линий.

Модель частотных флуктуаций ионного микрополя плазмы (Frequency-Fluctuation Model — FFM)

FFM: стохастическое изменение плазменного микрополя => перераспределение интенсивности между отдельными спектральными участками профиля линии.

Основной параметр — частота скачков ионного микрополя: $v = k v_T N_i^{1/3} = k v_0$

$$v_0 \simeq v_{T_i} / r_0 \simeq T_{F_0}^{-1}, F_0 \approx \left\langle Z_i^{3/2} \right\rangle^{2/3} / r_0^2$$

 $k \neq 1 \Rightarrow \nu = \langle 1/T(F, v) \rangle_{F, v}$ — обратное время жизни значения микрополя *F.* k = ?

Стохастическая модель расчета распределения напряженности поля С. Чандрасекара и Д. фон Неймана для описания распределения гравитационного поля $F_{\rm g}$ в звёздных скоплениях: силовое поле стохастически изменяется с частотой ${\bf v}_{\rm чн}$. Изменения величины поля — марковский процесс. Определение $T({\bf F}_{\rm g},{\bf v})$.

$$M_i \to Z_i, G \to 1 \Longrightarrow F_g \to F, \ \nu = \langle 1/T(|\mathbf{F}|, |\mathbf{v}|) \rangle_{|\mathbf{F}|, |\mathbf{v}|}$$



FFM*):

$$I_{i}(\omega) = \frac{\nu J_{0}(\omega) J_{2}(\omega) - J_{1}^{2}(\omega)}{\pi J_{2}^{2}(\omega) + \nu^{2} J_{1}^{2}(\omega)},$$

$$J_{k}(\omega) = \int_{-\infty}^{\infty} \frac{I_{i0}(\omega') (\omega - \omega')^{k}}{\nu^{2} + (\omega - \omega')^{2}} d\omega'.$$

 $I_{i0}(\omega) \, - \,$ нужен ионный квазистатический профиль $\emph{без учёта}$ других механизмов уширения



^{*)} Л.А. Буреева, М.Б. Кадомцев, М.Г. Левашова, В.С. Лисица, А. Калисти, Б. Талин, Ф.Б. Розми, Письма в ЖЭТФ **90**, 718 (2009).



Модель LineDM

$$\rho = \rho^0 + \rho^\mu,$$

$$[\partial/\partial t + \boldsymbol{v}_i \nabla] \rho^0 = -\frac{i}{\hbar} [H + V_F, \rho^0] + R \rho^0 + Q,$$

$$[\partial/\partial t + \boldsymbol{v}_i \nabla] \rho^{\mu} = -\frac{i}{\hbar} [H + V_F, \rho^{\mu}] + R \rho^{\mu} - \frac{i}{\hbar} [V_{\mu}, \rho^{0}].$$

$$\rho_{\alpha\beta}^{\mu}(\omega) = \sum_{q} C_{q}^{\mu^{*}} \rho_{\alpha\beta}^{q}(\omega) \delta_{q,M_{\alpha}-M_{\beta}}, \ \alpha \in \{\alpha\}, \beta \in \{\beta\},$$

$$G(\omega) = \frac{4\pi\omega}{3c} \cdot \text{Re} \left\langle i \sum_{\alpha\beta} (d_q)_{\alpha\beta}^* \rho_{\alpha\beta}^q(\omega) \right\rangle_{v_i, F},$$

$$I(\omega) = -\frac{4\omega^4}{3\pi c^3} \cdot \text{Re} \left\langle \sum_{\alpha\beta,q} (d_q)_{\alpha\beta}^* \rho_{\alpha\beta}^q(\omega) \right\rangle_{v_i,F}$$

Модель LineDM + FFM

$$I^{(DM)}(\omega) = \int_{-\infty}^{+\infty} I_{i0}(\omega - \omega')V(\omega')d\omega',$$

$$I_k(\omega) = \frac{1}{\pi} Re \left\{ \int_0^\infty e^{-i\omega\tau} \Phi_k(\tau) d\tau \right\},\,$$

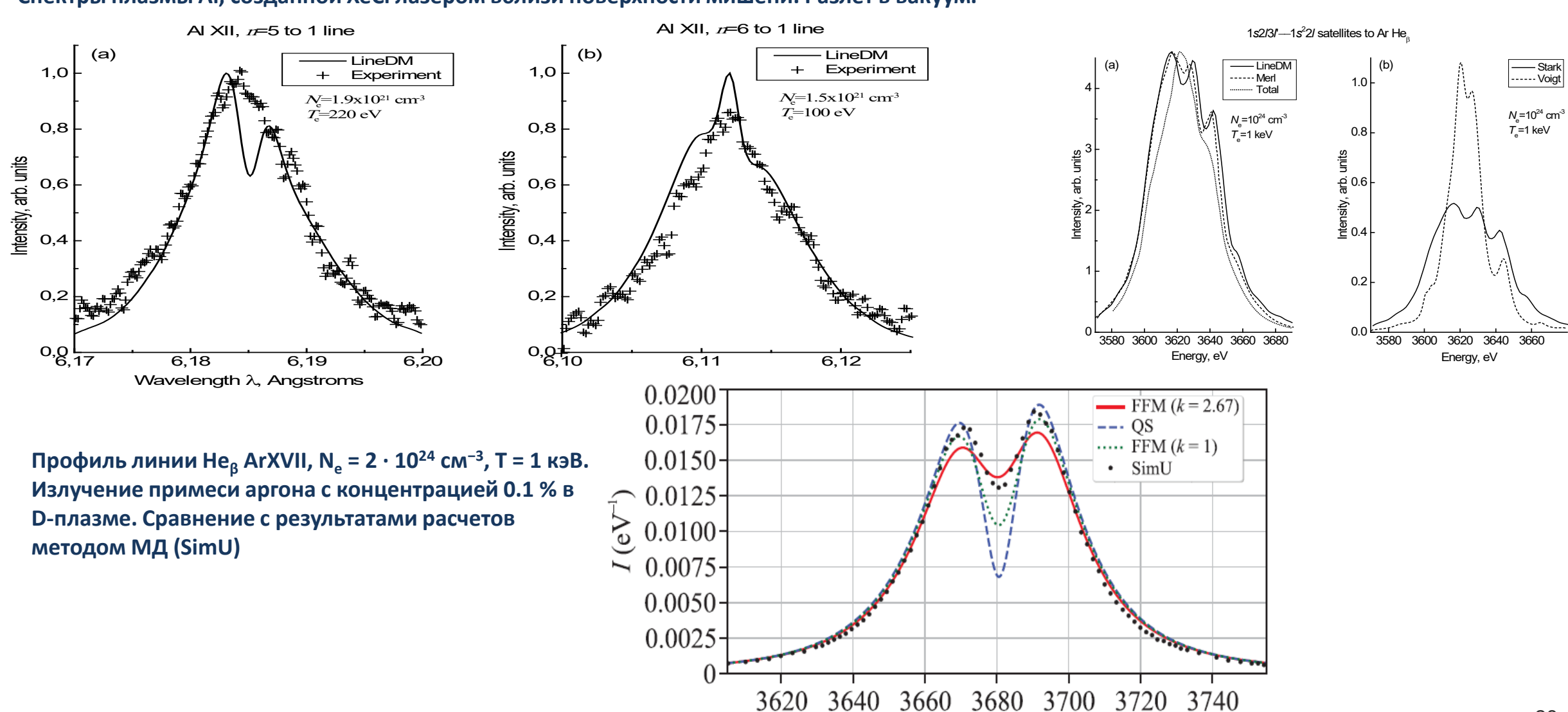
$$\Phi_k(\tau) = \int_{-\infty}^{+\infty} e^{i\omega\tau} I_k(\omega) d\omega.$$

$$\Phi^{(DM)}(\tau) = \Phi_{i0}(\tau) \cdot \Phi_V(\tau) ,$$

$$I_{i0}(\omega) = \frac{1}{\pi} Re \left\{ \int_{0}^{\infty} e^{-i\omega\tau} \frac{\Phi^{(DM)}(\tau)}{\Phi_{V}(\tau)} d\tau \right\}.$$



Спектры плазмы AI, созданной XeCI лазером вблизи поверхности мишени. Разлёт в вакуум.



ω (eV)

ЗАКЛЮЧЕНИЕ



Созданы новые и значительно усовершенствованы ранее разработанные модели расчёта теплофизических характеристик плотного ионизованного вещества произвольного химического состава, описания характеристик неравновесной высокотемпературной плазмы и детальных линейчатых спектров излучения многоэлектронных ионов для решения задач рентгеновской диагностики плазмы.

Применение новых систем широкодиапазонных данных, построенных с помощью этих моделей, существенно расширило возможности физико-математического моделирования различных процессов и явлений, возникающих при высоких плотностях энергии.



СПАСИБО ЗА ВНИМАНИЕ!